

Multi-Variable Relations for Soil Effects on Elastic Response Spectra

GEORGE D. BOUCKOVALAS

Professor N.T.U.A.

ACHILLEAS G. PAPADIMITRIOU

Dr Civil Engineer N.T.U.A.

Abstract

A set of simple relations is proposed for the evaluation of soil effects on normalized elastic response spectra (5% damping), which are complementary to the relations for the fundamental soil period and the peak seismic acceleration and velocity presented in a companion paper. Namely, the soil surface-to-bedrock outcrop ratio of the normalized spectral accelerations is related to five (5) basic site and excitation parameters: the fundamental vibration periods of the soil T_s and the bedrock T_b , the predominant excitation period T_e , the peak seismic acceleration at outcropping bedrock a_{max}^b and the number of equivalent harmonic cycles n . As for the peak seismic acceleration and velocity, the effect of each parameter was estimated from a multivariable regression analysis of relevant data from more than 700 one-dimensional equivalent-linear seismic ground response analyses, for natural sites and seismic excitation conditions. The proposed relations are verified against the aforementioned database, but mainly through a detailed comparison with independent numerical predictions and actual strong motion recordings from seven (7) well documented case studies: a) two sites in the San Fernando valley during the Northridge earthquake and b) five different seismic events recorded by the SMART-1 accelerometer array in Taiwan.

1. INTRODUCTION

The companion paper [3] presents a set of relations for the approximate estimation of soil effects on the non-linear site period and the peak seismic acceleration and velocity. This paper presents similar relations for the 5% damped normalized spectral accelerations. The proposed relations in both papers comprise an integrated framework describing all aspects of seismic site response of engineering interest.

The general form of the relations draws upon 1-D wave propagation theory for a uniform site with harmonic base excitation [3]. In this way, the prediction of soil effects becomes more refined, suitable for practical applications when the more accurate site-specific numerical predictions are not justified or cannot easily be implemented (e.g. GIS-aided seismic microzonation studies [7]). A similar compilation of actual seismological data, although more rigorous, is not presently possible, as only a small part

Submitted: Oct. 30, 2002 Accepted: July 1, 2004

of the available recordings is accompanied by adequate information regarding the engineering characteristics of the site and the seismic excitation.

The data and the general methodology used herein are the same as in [3]. Specifically, the proposed relations are based on data from over 700 numerical analyses, for actual seismic excitations and natural soil conditions, performed with the equivalent linear method ([8], [6]). In this way, the values of all parameters varied within a wide range, making a multivariable regression analysis of the data reliable. The relative error of the proposed relations is estimated on the basis of the numerical analyses in the database, but their validity is mainly verified against actual recordings and related numerical analyses for seven (7) cases not included in the database and presented in detail in this paper.

2. LIST OF SYMBOLS

H	Thickness of soil column
V_s	Shear wave velocity in uniform soil
$\bar{V}_{s,o}$	Average elastic shear wave velocity in soil column
T_s	Fundamental soil period
$T_{s,o}$	Fundamental elastic soil period
T_e	Predominant excitation period
T_{str}	Fundamental structural period
V_b	Shear wave velocity in (uniform) bedrock
T_b	Fundamental (uniform) bedrock period ($=4H/V_b$)
a_{max}^b	Peak horizontal acceleration at outcropping bedrock
a_{max}^s	Peak horizontal acceleration at soil surface
A_a	Outcropping bedrock to soil surface peak horizontal acceleration amplification ratio
S_a	Spectral horizontal acceleration at 5% critical damping
S_a^s	Horizontal spectral acceleration for 5% critical damping at soil surface
S_a^b	Horizontal spectral acceleration for 5% damping of critical at outcropping bedrock
A_{Sa}	Outcropping bedrock to soil surface amplification ratio of horizontal spectral acceleration

$(S_a^s)^*$	Normalized horizontal spectral acceleration at soil surface for 5% critical damping
$(S_a^b)^*$	Normalized horizontal spectral acceleration at outcropping bedrock for 5% critical damping
A_{Sa}^*	Normalized outcropping bedrock to soil surface amplification ratio of horizontal spectral acceleration (for 5% damping)
$A_{Sa,p}^*$	Peak value of A_{Sa}^*
$R_{A_{Sa,p}}^*$	Relative error in the estimation of $A_{Sa,p}^*$
$A_{Sa,r}^*$	Residual value of A_{Sa}^*
$R_{A_{Sa,r}}^*$	Relative error in the estimation of $A_{Sa,r}^*$
n	Number of equivalent uniform cycles of excitation
M_L	Local magnitude of earthquake
D	Depth to hypocenter of earthquake
R	Distance to epicenter of earthquake

$$A_{Sa}^* | \frac{12 B_1 \left(\frac{B_2 T_{str}}{T_s} \right)^2}{\sqrt{\left(\frac{4 \left(\frac{B_2 T_{str}}{T_s} \right)^2}{\left(\frac{B_2 T_{str}}{T_s} \right)^2} \right)^2 + \left(2 \frac{B_2 T_{str}}{T_s} \right)^2}} \quad (3.3)$$

According to Eq. (3.3):

$$A_{Sa,p}^* | \frac{12 B_1}{2 B_2} \quad (3.4)$$

$$A_{Sa,r}^* | B_1 \quad (3.5)$$

3. METHODOLOGY OUTLINE

Rather than the spectral acceleration itself, the emphasis here is placed on the (5% damped) normalized spectral acceleration $S_a^* = S_a / a_{max}$, and the corresponding soil surface-to-bedrock outcrop amplification ratio:

$$A_{Sa}^* | \frac{|S_a^*|_{soil}}{|S_a^*|_{bedrock}} \quad (3.1)$$

This ratio can be equivalently written as:

$$A_{Sa}^* | \frac{A_{Sa}}{A_a} \quad (3.2)$$

where A_{Sa} is the actual amplification ratio of the spectral acceleration, while A_a is the amplification ratio for the peak ground acceleration, estimated as proposed in [3].

As an example, Fig. 1 shows typical equivalent-linear numerical predictions for the variation of A_{Sa}^* in terms of the structure-to-soil fundamental period ratio (T_{str}/T_s). The predicted A_{Sa}^* spectra procure by applying the same site to two (2) excitations with the same $a_{max}^b (=0.30g)$, but with widely different frequency content. Observe that:

- The frequency content of the excitation has a secondary effect on A_{Sa}^* .
- For rigid structures ($T_{str} \cong 0$), $A_{Sa}^* \cong 1$.
- For structures with $T_{str} = T_s$ (resonance), the A_{Sa}^* reaches a peak, hereafter denoted by $A_{Sa,p}^*$, and
- For more flexible structures ($T_{str} / T_s > 1$), the A_{Sa}^* gradually decreases and tends asymptotically to a residual value, denoted by $A_{Sa,r}^*$.

As shown in Fig. 1, the numerical predictions for the normalized spectral amplification ratio A_{Sa}^* can be simulated by this relatively simple analytical expression:

Equivalently, the parameters B_1 and B_2 can be written as:

$$B_1 | A_{Sa,r}^* \quad (3.6)$$

$$B_2 | \frac{12 A_{Sa,p}^*}{2 A_{Sa,p}^*} \quad (3.7)$$

This means that Eq. (3.3) can be readily defined in terms of $A_{Sa,p}^*$ and $A_{Sa,r}^*$ alone. Hence, the results from the equivalent-linear predictions regarding the amplification of the elastic response spectra were tabulated in the database in terms of these two (2) factors. Subsequently, two independent statistical analyses were performed correlating $A_{Sa,p}^*$ and $A_{Sa,r}^*$ to the four (4) parameters found to affect soil amplification in [3]: the normalized soil period T_s/T_e , the bedrock-to-soil fundamental period ratio T_b/T_s , and the excitation characteristics a_{max}^b and n . Of the above parameters, a_{max}^b is provided by a seismological study in practical applications, T_s is estimated as described in [3], $T_b = 4H/V_s$ where H the soil column thickness, and only T_e and n need further explanation. In particular, T_e is the predominant excitation period that is defined as the period for which its spectral acceleration S_a (for 5% critical damping ratio) takes its peak value, while n is the number of cycles in the excitation time-history that exceed a level of acceleration equal to $a_{max}^b (M-1)/10$, where M is the earthquake magnitude.

Further details concerning the database and the statistical analysis are presented in [2] and [3]. It is merely noted here, that data were analyzed via an appropriately weighted multivariable (least-square) regression analysis with the Newton-Raphson method, considering the four (4) aforementioned parameters affecting soil amplification as the free independent variables. Table 1 outlines the range of these parameters in the database, which also defines the limits of application of the proposed relations.

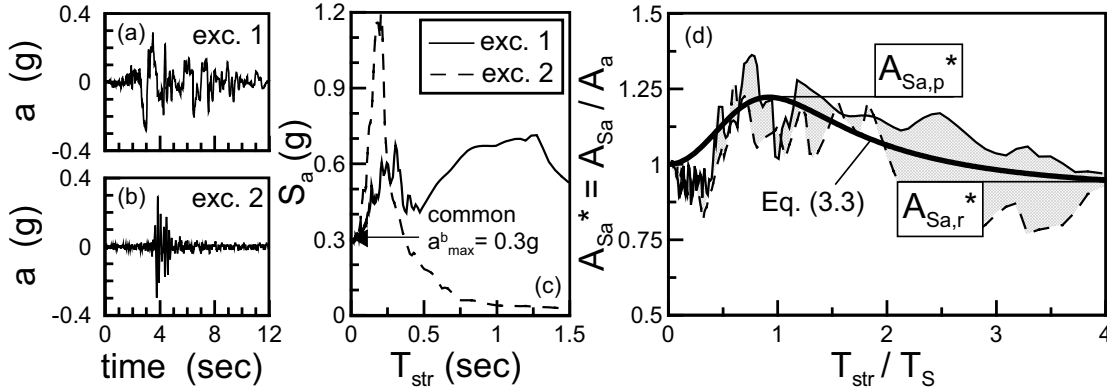


Figure 1: Example of bedrock outcrop-to-soil surface spectral amplification (5% damping).

Σχήμα 1: Ενίσχυση ελαστικών φασμάτων απόκρισης (απόσβεσης 5%) από το αναδύμενο υπόβαθρο στην επιφάνεια του εδάφους.

Table 1: Range of soil and excitation parameters in the database.

PARAMETER	RANGE
normalized soil period, T_s/T_e	0.06 - 13.3
bedrock-to-soil fundamental period ratio, T_b/T_s	0.05 - 0.95
peak bedrock acceleration, $a^b_{max}(g)$	0.01 - 0.45
number of equivalent harmonic cycles, n	0.5 - 24

$$A_{Sa,p}^* = \left[\begin{matrix} 12 c_{p1} \left(\frac{T_s}{T_e} \right)^{c_{p2}} \\ 12 c_{p1} 2 c_{p3} \left(\frac{T_b}{T_s} \right)^{c_{p4}} n^{c_{p5}} \left(\frac{T_s}{T_e} \right)^{41} \\ 12 c_{p1} 2 3 c_{p3} \left(\frac{T_b}{T_s} \right)^{c_{p4}} n^{c_{p5}} \end{matrix} \right] \cdot \frac{T_s}{T_e} \Omega^l, \quad 1 \Omega \frac{T_s}{T_e} \Omega^4, \quad 4 \Omega \frac{T_s}{T_e}$$

where: $c_{p1} = 0.318$, $c_{p2} = 0.058$, $c_{p3} = 0.279$, $c_{p4} = -0.504$, $c_{p5} = -0.613$.

4. STATISTICAL ANALYSIS - RESULTS

4.1. Factors affecting $A_{Sa,p}^*$

Fig. 2 shows examples of the variation of $A_{Sa,p}^*$ as a function of the normalized soil period T_s/T_e , the most crucial of the four (4) independent variables. Specifically, the data in this figure are presented in pairs of groups, by maintaining two (2) of the three (3) other variables within a small range. Specifically, Fig. 2a explores the effect of shaking duration, for $n = 0.5 - 1$ and $n = 4 - 8$, while Fig. 2b, explores the effect of soil to bedrock impedance, for $T_b/T_s = 0.05 - 0.15$ (high contrast profiles) and $T_b/T_s = 0.6 - 0.8$ (relatively low contrast profiles). Finally, Fig. 2c, explores the effect shaking intensity, for $a^b_{max} = 0.01 - 0.35g$ and $a^b_{max} = 0.40 - 0.45g$.

In all cases, the effect of T_s/T_e is similar, namely $A_{Sa,p}^*$ increases with T_s/T_e from its value 1.0 at $T_s/T_e = 0$ to a more or less constant value for $T_s/T_e > 4$. Furthermore, $A_{Sa,p}^*$ decreases with increasing T_b/T_s and n , especially for $T_s/T_e > 1$ (Figs. 2a and 2b), but it is not significantly affected by the intensity of shaking (Fig. 2c).

The above trends have been best-fitted by (Eq. 4.1):

The constants in Eq. (4.1) were determined using a stepped multi-variable regression analysis of the results of all numerical simulations. Specifically, the first analysis corroborated the implication of Fig. 2c, i.e. that a^b_{max} does not affect $A_{Sa,p}^*$ in a systematic manner. Subsequently, an analysis was performed for merely the data that fall within the range of $1 \leq T_s/T_e \leq 4$. This analysis provided the values of all constants in Eq. (4.1), except for c_{p2} . The latter was estimated by merely the data that fall in the range of $T_s/T_e \leq 1$. Obviously, by performing independent analyses for the three sets of data outlined by the ranges of T_s/T_e in Eq. (4.1), one could have obtained more precise estimates. But such a methodology would not ensure the continuity of the proposed relations at $T_s/T_e = 1$ and 4.

Fig. 3 presents a one-to-one comparison of $A_{Sa,p}^*$ predictions to the corresponding numerical results ('data') for all the cases in the database. In addition, Fig. 4 presents the relative error in these $A_{Sa,p}^*$ predictions ($R_{Asa,p}^*$), defined as the difference between predictions and data normalized against the latter. Observe that the $A_{Sa,p}^*$ values from Eq. (4.1) agree well with the 'data' for all cases in the database (standard deviation of the error is (21.3%) and that the error proves unbiased.

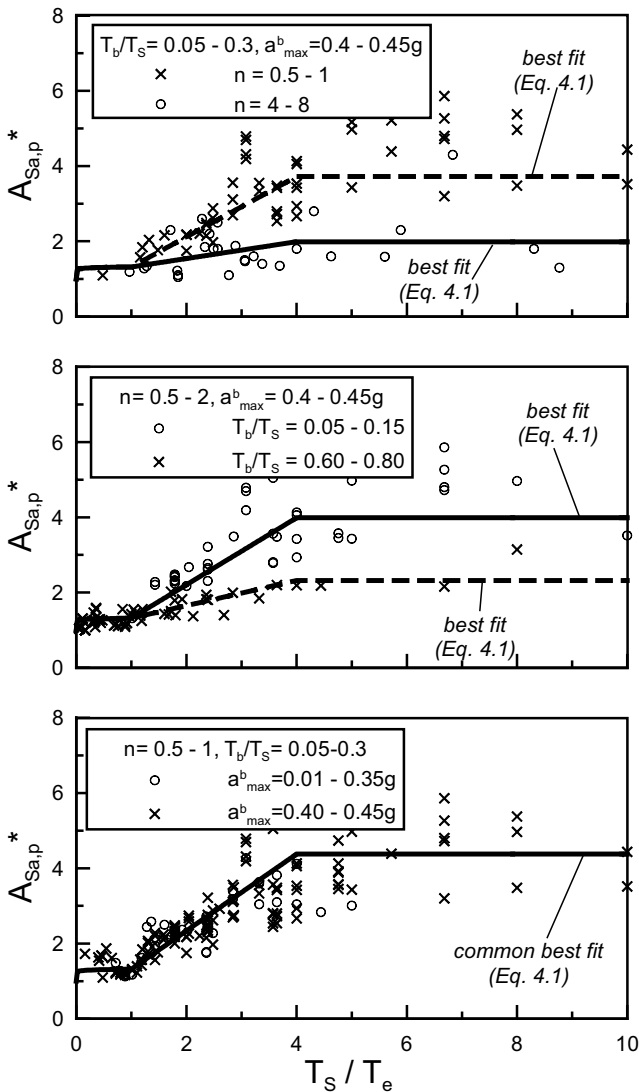


Figure 2: Effect of site and excitation parameters on $A_{Sa,p}^*$.
 Σχήμα 2: Επίδραση παραμέτρων εδάφους & διέγερσης στο $A_{Sa,p}^*$.

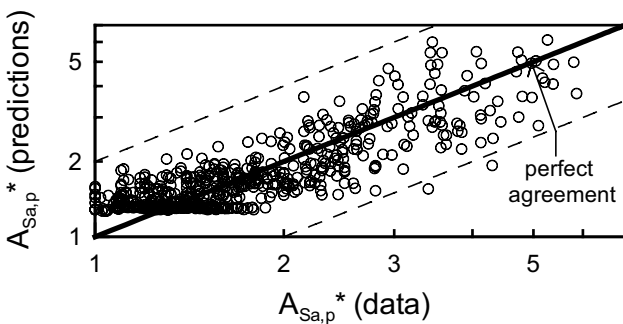


Figure 3: Comparison between predictions and data for $A_{Sa,p}^*$.
 Σχήμα 3: Σύγκριση προβλέψεων - δεδομένων για το $A_{Sa,p}^*$.

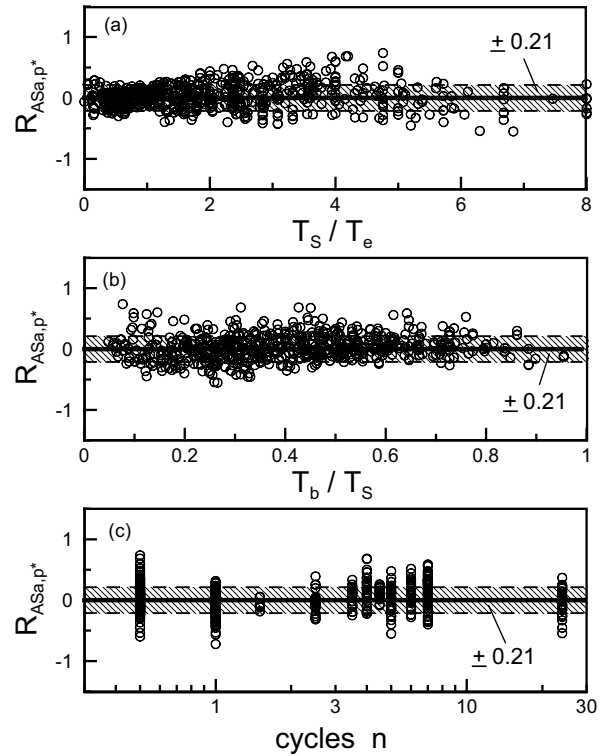


Figure 4: Relative error of proposed relation for $A_{Sa,p}^*$.
 Σχήμα 4: Σχετικό λάθος της προτεινόμενης σχέσης για το $A_{Sa,p}^*$.

4.2. Factors affecting $A_{Sa,r}^*$

The general procedure in the analysis of the data for $A_{Sa,r}^*$ is the same as that followed for $A_{Sa,p}^*$. Hence, Fig. 5 shows examples of the variation of $A_{Sa,r}^*$ as a function of T_s/T_e . In this case, the initial decrease of $A_{Sa,r}^*$ for $T_s/T_e < 1$, becomes an increase for $T_s/T_e > 1$, while $A_{Sa,r}^*$ levels off for $T_s/T_e > 6$. Furthermore, Figs 5a and 5b show that an increase in T_b/T_s and n results in a decrease of $A_{Sa,r}^*$, especially for $T_s/T_e > 1$. Finally, Fig. 5c shows that the a_{max}^b does not significantly affect the value of $A_{Sa,r}^*$.

These trends are expressed analytically by Eq. (4.2):

$$A_{Sa,r}^* = \left[12 c_{r1} \left(\frac{T_s}{T_e} \right)^{c_{r4}} \right] \left[12 c_{r1} 2 c_{r3} \left(\frac{T_b}{T_s} \right)^{c_{r4}} n^{c_{r5}} \left(\frac{T_s}{T_e} \right)^{c_{r4}} 4 \right] \left[12 c_{r1} 2 5 c_{r3} \left(\frac{T_b}{T_s} \right)^{c_{r4}} n^{c_{r5}} \right], \quad \frac{T_s}{T_e} \Omega^2$$

$$1 \Omega \frac{T_s}{T_e} \Omega^2$$

$$6 \Omega \frac{T_s}{T_e}$$

Estimated as for $A_{Sa,p}^*$, the constants of Eq. (4.2) are:
 $c_{r1} = -0.302$, $c_{r3} = 0.189$, $c_{r4} = -0.474$, $c_{r5} = -0.406$.

Figure 6 presents a one-to-one comparison between predictions and 'data' for $A_{Sa,r}^*$, similarly to Fig. 3. In addition, Fig. 7 presents the relative error $R_{A_{Sa,r}^*}$ in the

estimation of $A_{Sa,r}^*$, defined similarly to $R_{Asa,p}^*$. Observe that the agreement between approximate predictions and numerical ‘data’ is fairly systematic, with an unbiased error having a standard deviation equal to $\pm 26.1\%$, for all the cases in the database on which the statistical analysis was based.

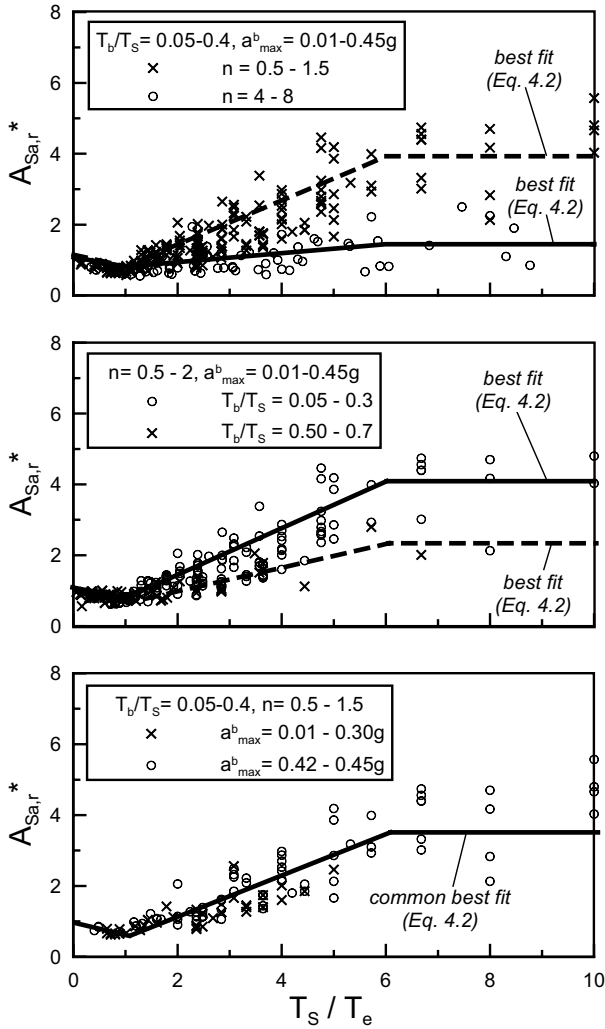


Figure 5: Effect of site and excitation parameters on $A_{Sa,r}^*$.
Σχήμα 5: Επίδραση παραμέτρων εδάφους & διέγερσης στο $A_{Sa,r}^*$.

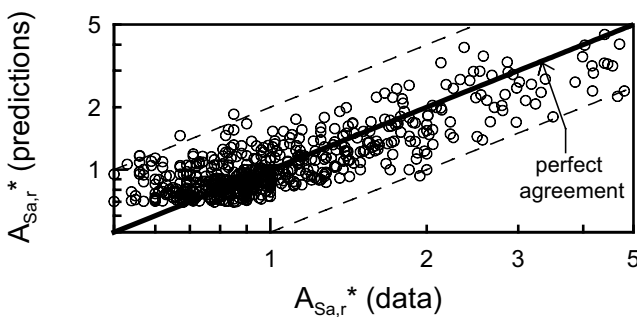


Figure 6: Comparison between predictions and data for $A_{Sa,r}^*$.
Σχήμα 6: Σύγκριση προβλέψεων - δεδομένων για το $A_{Sa,r}^*$.

5. VERIFICATION CASE STUDIES

This section presents the application of the proposed multi-variable relations in a series of ‘well-documented’ cases of soil amplification, 2 cases in the Northridge earthquake and 5 cases in the SMART-1 accelerometer array in Taiwan. The term ‘well-documented’ means that the sites have well known geological and geotechnical properties.

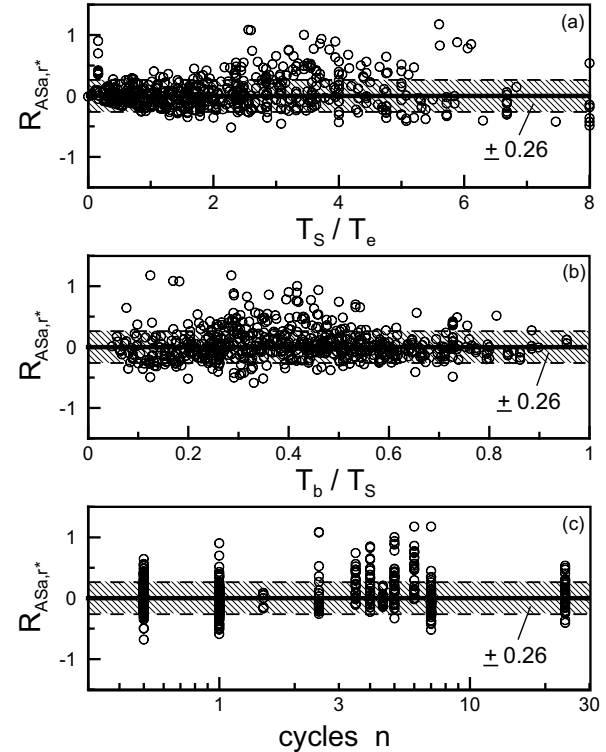


Figure 7: Relative error of proposed relation for $A_{Sa,r}^*$.
Σχήμα 7: Σχετικό λάθος της προτεινόμενης σχέσης για το $A_{Sa,r}^*$.

Furthermore, the term ‘well-documented’ means that the digitized acceleration records for each event were available at both the soil surface and the outcropping bedrock.

The predicted values of A_a and A_v for all seven (7) cases are evaluated in [3]. Here, the emphasis is on the elastic response spectra, which are predicted from a joint application of the relations for A_{Sa}^* and the relations for A_a and T_s proposed in [3]. Hence, besides the purpose of verification, this section also serves as a guide on how to apply the proposed relations in practice.

5.1. Northridge Earthquake

The Northridge earthquake struck the densely populated Los Angeles basin on January 17th 1994 at 04:30 PST. It was a strong earthquake ($M_L = 6.4$) that occurred at an approximate depth of 19 km. The epicenter region of the earthquake was

the San Fernando Valley, an east-west-trending, deep alluvial valley, whose basin floor is relatively flat. Fig. 8 shows the main geographic characteristics of the San Fernando valley, locates the Northridge earthquake epicenter and depicts the 3 sites of interest here: LDF: Los Angeles Dam, RRS: Rinaldi Receiving Station and SFY: Arleta Fire Station.

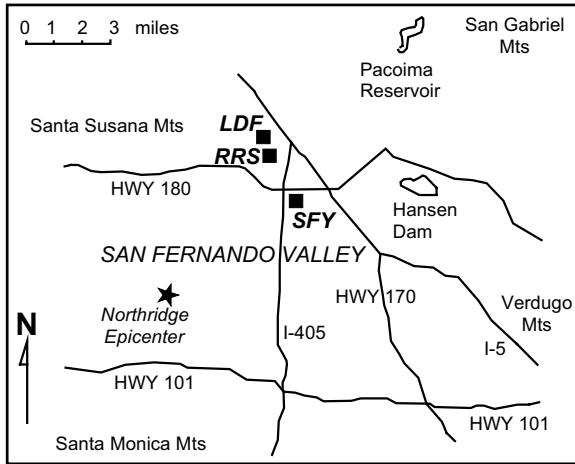


Figure 8: Map with site and earthquake epicenter locations. Σχήμα 8: Χάρτης με θέσεις εδαφικών τομών και επικέντρον.

Figure 9 presents the geological profile and the measured shear wave velocity variation with depth at the 3 sites. Observe that while the RRS and SFY sites are relatively soft near the surface ($V_s \leq 400$ m/s for the top 16m), site LDF is consistently stiffer ($V_s > 600$ m/s for all depths). Given

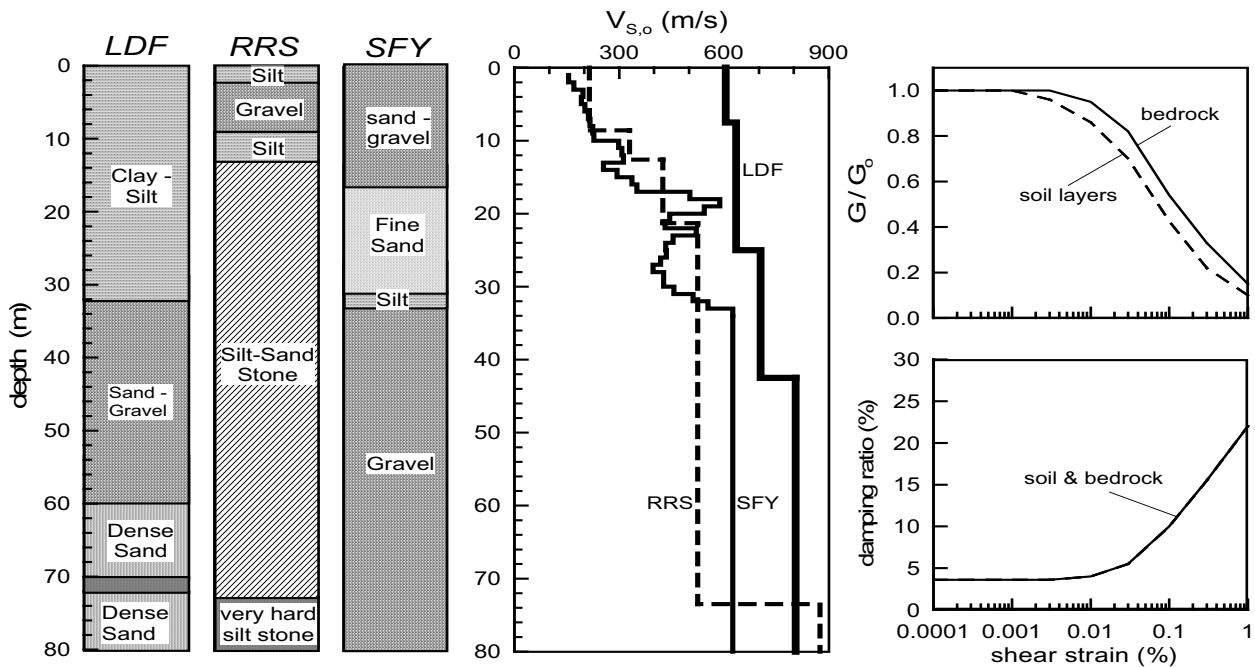


Figure 9: Geological and geotechnical information for LDF, RRS and SFY sites [4]. Σχήμα 9: Γεωλογικές και γεωτεχνικές συνθήκες στις θέσεις LDF, RRS και SFY [4].

these geotechnical properties, as well as the close distance between the sites (less than 4 miles) and the proximity between the respective epicentral distances (approximately 8 - 10 miles), LDF is considered the bedrock outcrop site and RRS and SFY the associated soil sites. The Northridge earthquake was recorded at the surface of all 3 sites. The horizontal acceleration time-histories and respective elastic response spectra (5% damping) of these recordings were retrieved by the University of California Santa Barbara web database (<http://smdb.crustal.ucsb.edu/>). Table 2 outlines the corresponding values of the peak horizontal acceleration a_{max} and velocity V_{max} values.

Table 2: a_{max} , V_{max} for the 3 sites and the Northridge earthquake.

	LDF	RRS	SFY
a_{max} (g)	0.291	0.819	0.344
V_{max} (m/s)	0.756	1.640	0.401

The first step for applying the proposed multi-variable relations is to quantify the seismic excitation in terms of: a_{max}^b , n and T_e . In this case, the recording at LDF serves as the seismic excitation, and specifically its NS component that led to the most severe peak horizontal acceleration and velocity. For this recording, $a_{max}^b = 0.291g$, $n = 4$ and $T_e = 1.0$ sec.

The second step is to estimate the linear periods of the soil T_{S_o} and the bedrock $T_b = 4H / V_b$. This entails assuming the bedrock depth (and hence the thickness of the soil layers H), and then estimating T_{S_o} and T_b based on the measured

V_s - profile. Hence, depths $H = 73.5\text{m}$ and $H = 33.5\text{m}$ were assumed for the RRS and SFY sites, respectively, and the simplified version of the Rayleigh procedure [1] was used to obtain the values of $T_{S,o}$ presented in Table 3, along with the respective values of T_b .

The third and final step is to apply the proposed relations, by first estimating the non-linear soil period T_S , the corner stone of the methodology. The values of T_S for the two soil sites during the Northridge earthquake are also presented in Table 3.

Table 3: Soil site characteristics for the RRS and SFY sites.

	H (m)	$\bar{V}_{S,o}$ (m/s)	$T_{S,o}$ (sec)	T_b (sec)	T_S (sec)
RRS	73.5	494	0.59	0.37	0.72
SFY	33.5	408	0.33	0.21	0.42

The high relative difference between the T_S and $T_{S,o}$ values implies that considerable soil non-linearity is predicted for both sites. This is reasonable, given the intense shaking caused by the Northridge earthquake at these small epicentral distances.

Figs. 10a and 11a present a comparison of the predicted elastic response spectra to the two horizontal recorded spectra for the RRS and SFY sites, respectively. Specifically,

each of Figs 10a and 11a consist of 3 plots: the upper plot that compares the normalized amplification response spectra, A_{Sa}^* , the intermediate that compares the response spectra at the soil surface, S_{Sa}^s and the lower plot that gives an estimate of the error in the prediction in terms of the ratio of predicted-over-recorded values of S_{Sa}^s .

For comparison, equivalent-linear analyses with SHAKE91 [6] were also performed for the 2 soil sites with characteristics shown in Fig. 9. The digitized time-histories at LDF were used as seismic excitation in these analyses, applied at bedrock outcrop. The results of these analyses for the RRS and SFY soil sites are compared with the records in Figs 10b and 11b, respectively, by using the same three-partite plotting scheme. Finally, Figs 10c and 11c compare the foregoing numerical results to predictions obtained with the proposed multi-variable relations. Note that these numerical analyses were not included in the database.

The proposed relations under-predict S_{Sa}^s for the RRS site (Fig. 10a), by practically the same amount for all structural periods T_{str} , and slightly over-predict the recorded values for the SFY site (Fig. 11a). However, Figs 10b and 11b show that the numerical predictions offer similar results with respect to the records. This is better shown in Figs 10c and 11c, where the predictions from the proposed relations are directly compared to the numerical results. Observe that the former are usually within $\pm 30\%$ of the latter.

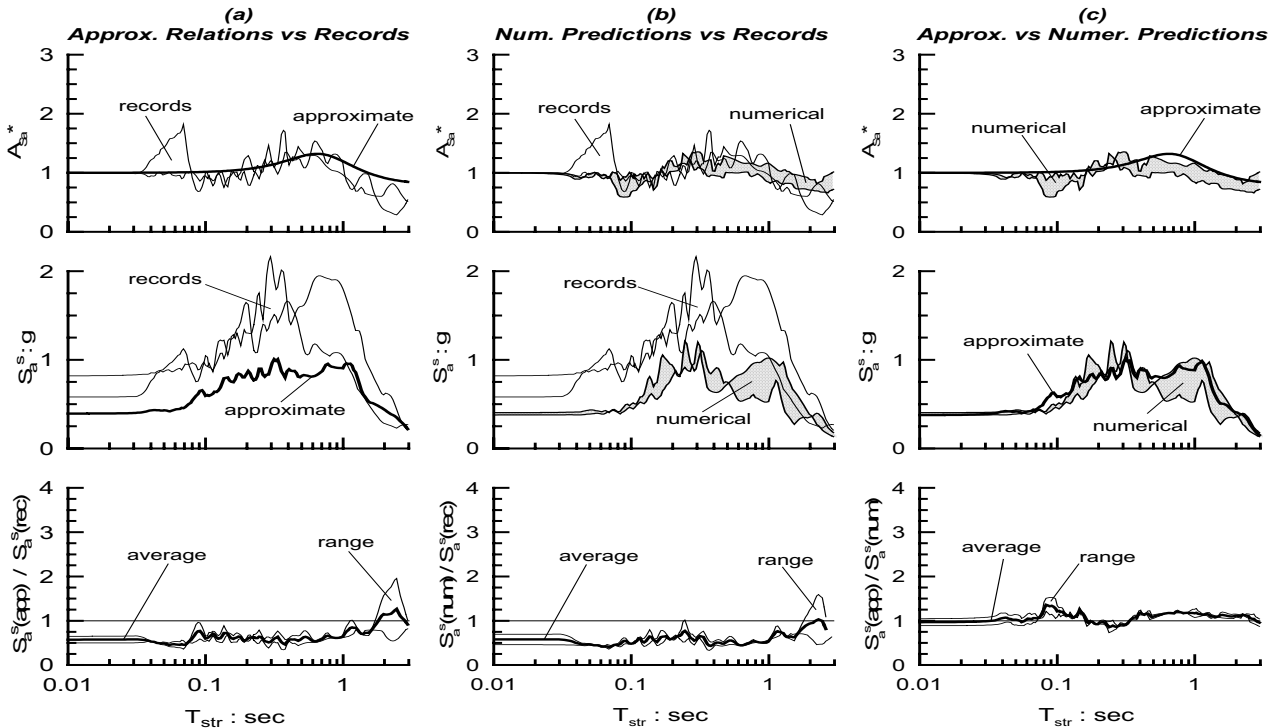


Figure 10: Evaluation of proposed relations for the elastic response spectra for the RRS site during the Northridge earthquake.

Σχήμα 10: Αποτίμηση των προτεινόμενων σχέσεων για τα ελαστικά φάσματα απόκρισης στη θέση RRS και το σεισμό του Northridge.

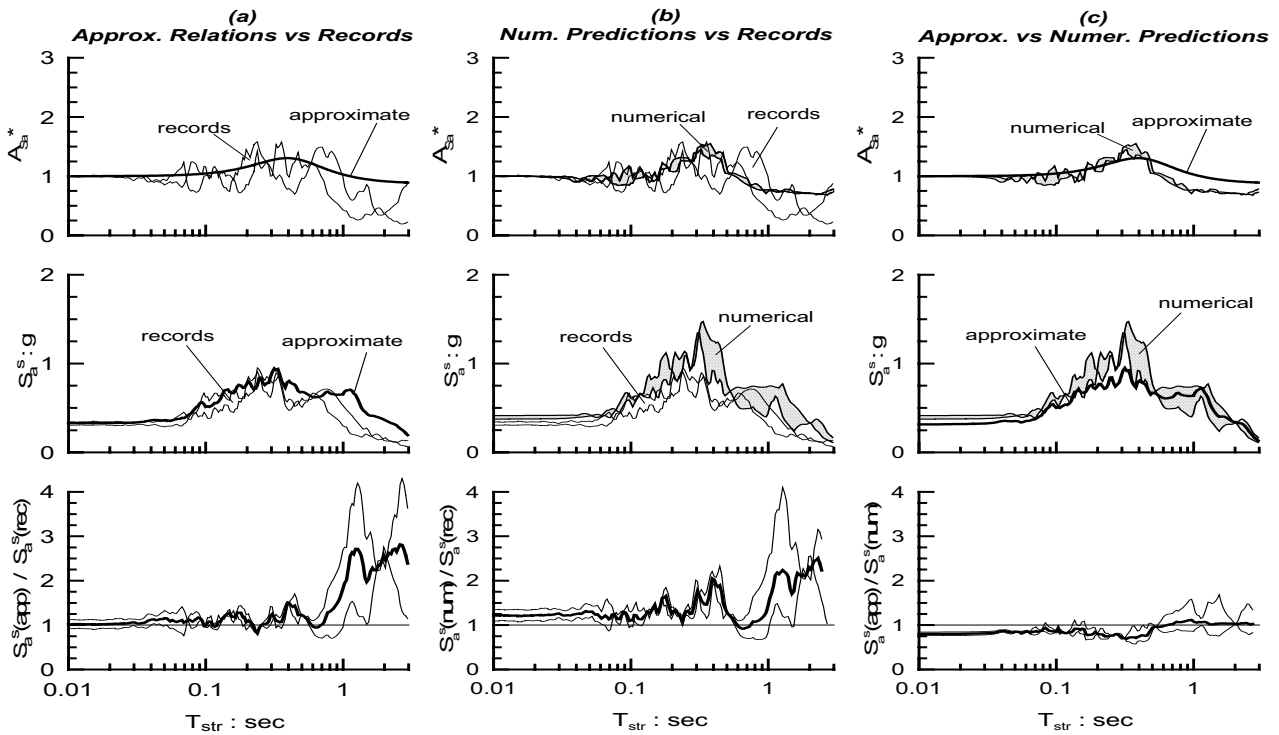


Figure 11: Evaluation of proposed relations for the elastic response spectra for the SFY site during the Northridge earthquake.
 Σχήμα 11: Αποτίμηση των προτεινόμενων σχέσεων για τα ελαστικά φάσματα απόκρισης στη θέση SFY και το σεισμό του Northridge.

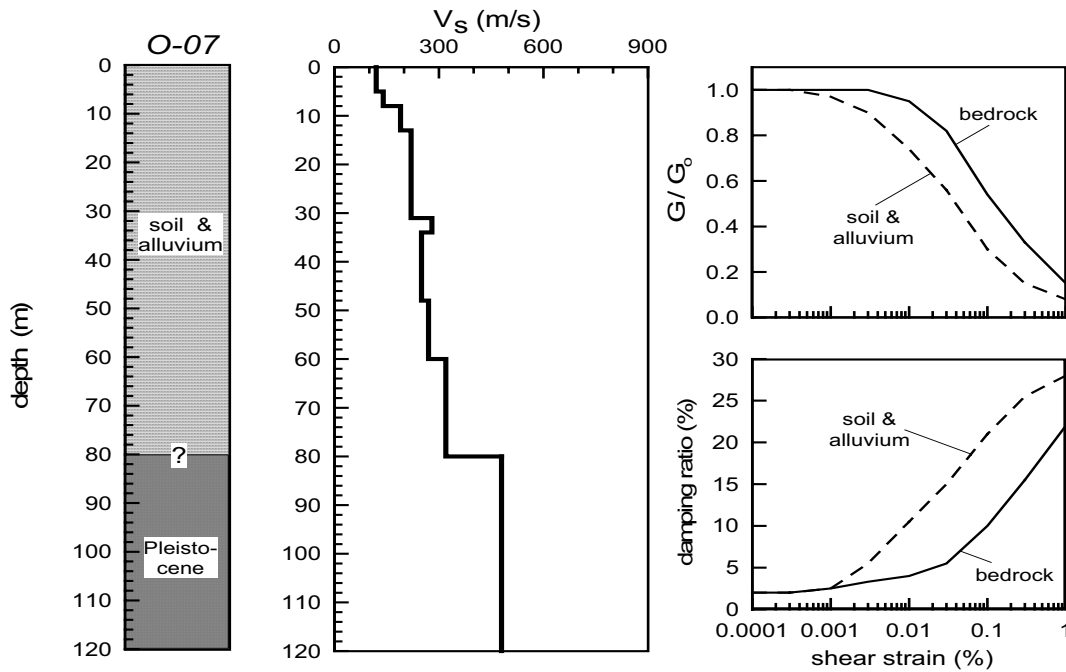


Figure 12: Geological and geotechnical information for the O-07 site [10].
 Σχήμα 12: Γεωλογικές και γεωτεχνικές συνθήκες στη θέση O-07 [10].

5.2. SMART-1 Accelerometer Array

The SMART-1 accelerometer array is located in the Lanyang plain of northeastern Taiwan. In brief, SMART-1 consists of a total of 39 triaxial surface accelerometers,

configured in 3 concentric circles [9]. The array is located on a flat plain in a basin of triangular shape that is 15 km wide and 8 km long [5]. The geologic materials of the flat plain consist of practically horizontal recent soil and alluvium layers (thickness 30 - 80m) at the surface and a stiffer

Pleistocene layer (thickness 170 - 540m) that overlies the Miocene rock basement [10].

Of special interest to this study are two stations: (a) soil site O-07 and (b) bedrock outcrop site E-02 that is installed at approximately 2.8 km south of O-07, where the bedrock formation appears on the surface. Fig. 12 presents the V_s profile with depth at the O-07 [10]. Observe that it is a soft soil site, with V_s as low as 120m/s near the surface and greater than 400m/s at a depth of 80m. The V_s contrast at this depth led us to assume that it corresponds to the seismic bedrock, although it is not clear whether it also corresponds to an interface with Pleistocene materials.

For the V_s profile of Fig. 12, the simplified version of the Rayleigh procedure [1], yields $T_{s,o} = 1.13s$. The respective value for the bedrock is $T_b = 0.58s$.

In this paper, 5 seismic events recorded at both the O-07 and E-02 sites have been used, and their seismological characteristics are presented in Table 4.

The application of the proposed relations starts by first estimating the non-linear periods T_s of site O-07 ($V_{s,o} = 283m/s$) for the 5 events. Their values are provided in Table 5, along with the seismic excitation parameters a_{max}^b , n and T_e of the same events.

Note that due to soil non-linearity, the difference between T_s and $T_{s,o}$ is larger for the stronger events 39, 40 and 45 than for the weaker ones 29 and 41.

Figures 13 through 17 present a comparison of the predicted spectra against both components of elastic response spectra from the recordings, as well as the results from equivalent-linear analyses with SHAKE91 [6], which are not included in the database. The format in these figures is the same as that in Figs 10 and 11.

Note that the site parameters used as input for the numerical analyses are presented in Fig.12. Based on Figs 13a through 17a it is deduced that the proposed methodology provides reasonable prediction of the recorded amplification.

More importantly, observe that results obtained from the numerical analyses are of similar accuracy (Figs 13b through 17b). This becomes more evident in Figs 13c through 17c, where the numerical results are compared directly to the predictions from the multi-variable relations. Overall it is argued that the proposed relations essentially reproduce the numerical results. It should be underlined here that whenever the numerical method fails to simulate the recorded amplification, so do the proposed relations (as in Fig.14). In other words, the proposed relations inherit the shortcomings of the numerical method on which they were based.

For example, the numerical method assumes that the outcropping bedrock is similar to that underlying the soil column and that the impeding seismic waves are vertical. Whenever these conditions are not fulfilled then the results

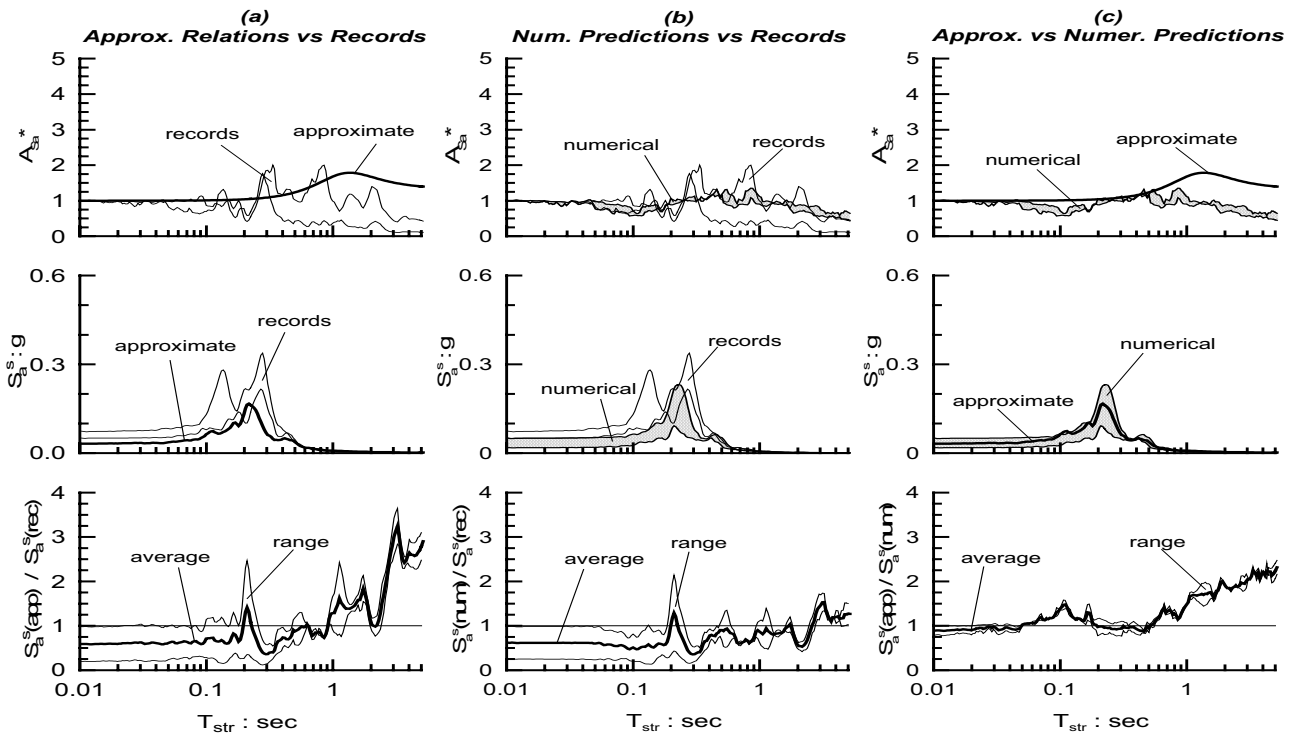


Figure 13: Evaluation of proposed relations for the elastic response spectra for the O-07 site during event #29.

Σχήμα 13: Αποτίμηση των προτεινόμενων σχέσεων για τα ελαστικά φάσματα απόκρισης στη θέση O-07 και το σεισμό #29.

of both the numerical method and the relations will not be accurate. In general, the proposed relations should be used with the same reservations (and safety factor) as the equivalent-linear method of one-dimensional analysis on

which they were based. Further elaboration on the accuracy of the numerical method, or in general on the difficulties encountered when seismic records are interpreted in terms of theoretical models are beyond the scope of this paper.

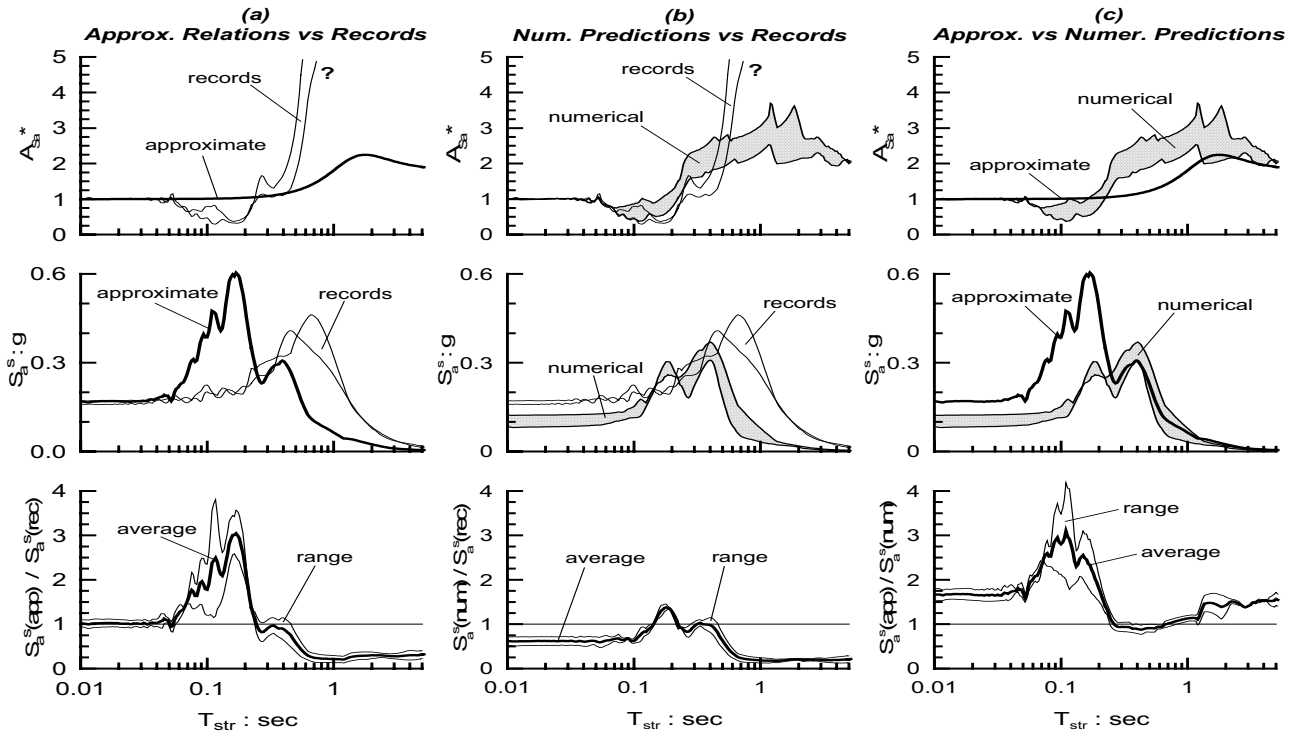


Figure 14: Evaluation of proposed relations for the elastic response spectra for the O-07 site during event #39.

Σχήμα 14: Αποτίμηση των προτεινόμενων σχέσεων για τα ελαστικά φάσματα απόκρισης στη θέση O-07 και το σεισμό #39.

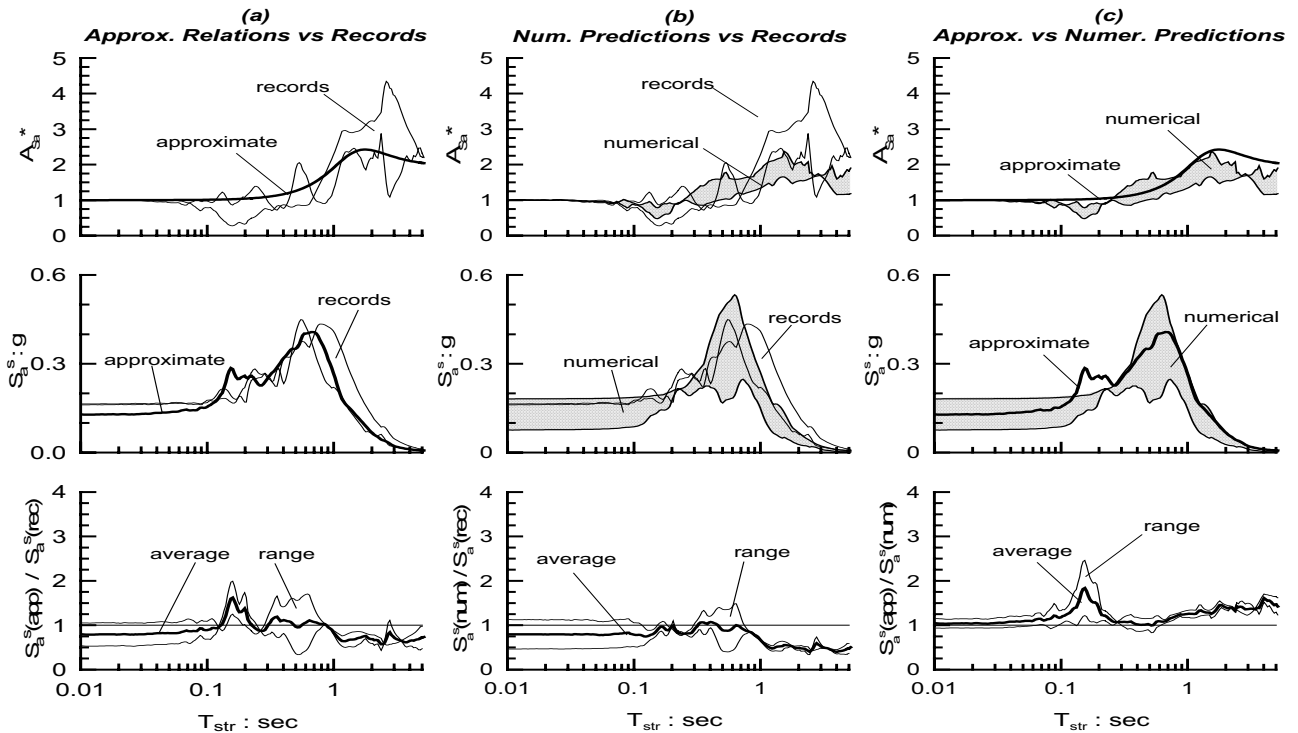


Figure 15: Evaluation of proposed relations for the elastic response spectra for the O-07 site during event #40.

Σχήμα 15: Αποτίμηση των προτεινόμενων σχέσεων για τα ελαστικά φάσματα απόκρισης στη θέση O-07 και το σεισμό #40.

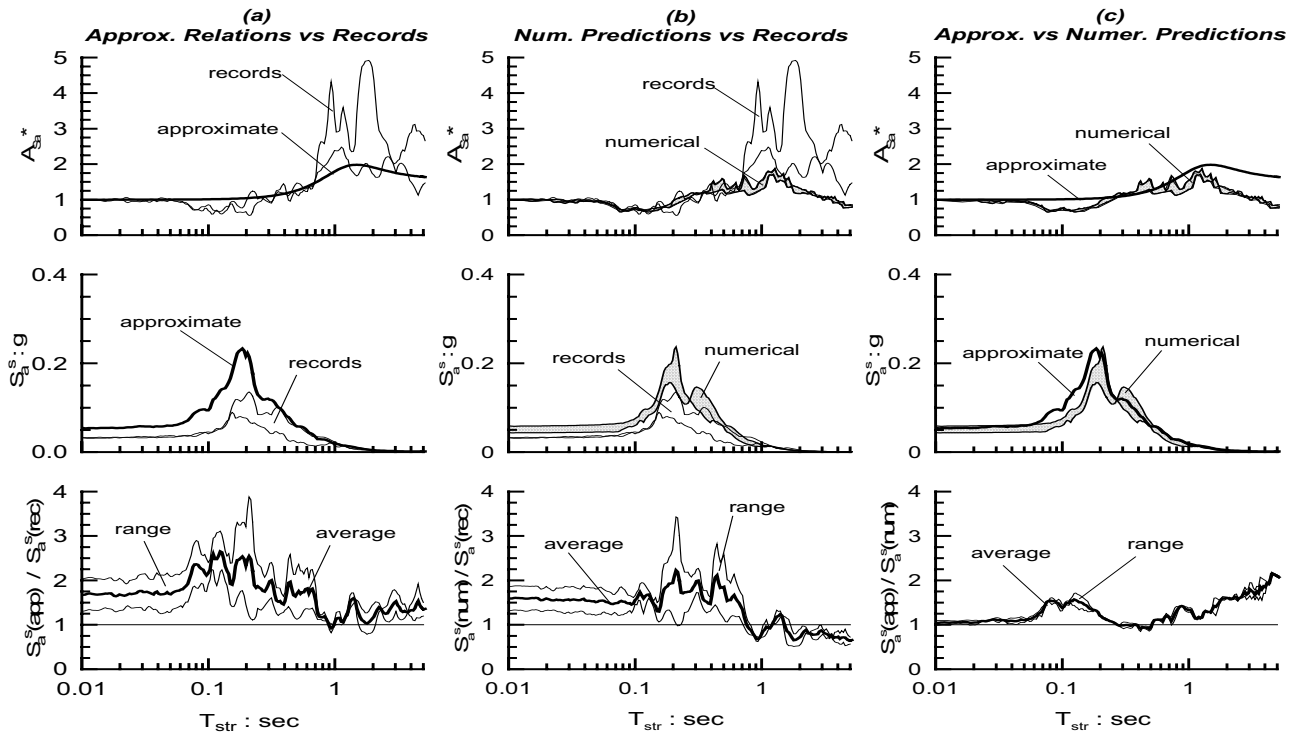


Figure 16: Evaluation of proposed relations for the elastic response spectra for the O-07 site during event #41.

Σχήμα 16: Αποτίμηση των προτεινόμενων σχέσεων για τα ελαστικά φάσματα απόκρισης στη θέση O-07 και το σεισμό #41.

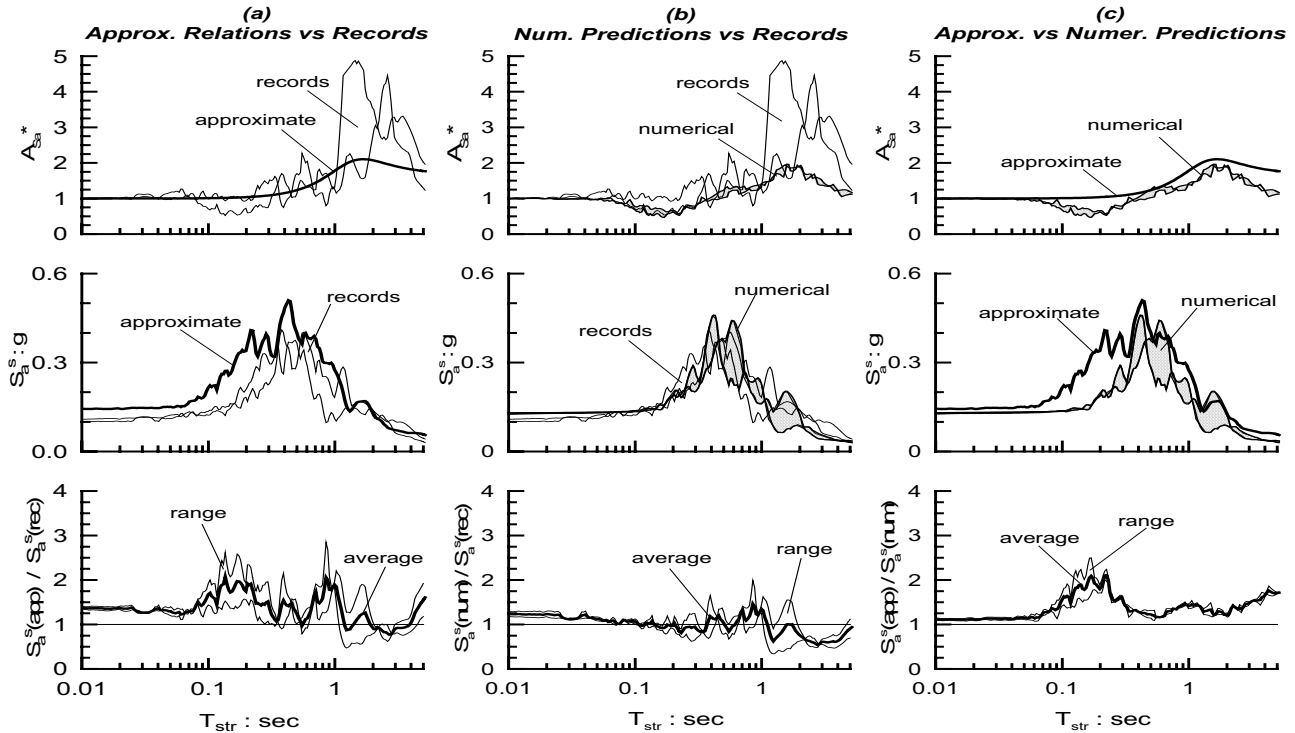


Figure 17: Evaluation of proposed relations for the elastic response spectra for the O-07 site during event #45.

Σχήμα 17: Αποτίμηση των προτεινόμενων σχέσεων για τα ελαστικά φάσματα απόκρισης στη θέση O-07 και το σεισμό #45.

Table 4: Seismological parameters for the 5 events and their recording characteristics at E-02 and O-07.

#	a_{max} (g)		V_{max} (g)		D (km)	R (km)	M_L
	E-02	O-07	E-02	O-07			
29	0.033	0.074	0.032	0.040	28	46	6
39	0.200	0.172	0.131	0.319	10	22	6.5
40	0.190	0.165	0.199	0.303	16	67	6.5
41	0.050	0.033	0.023	0.024	22	71	6.2
45	0.140	0.109	0.240	0.300	7	79	7

Table 5: Input data and results of TS computations for soil site O-07 for the 5 seismic events

#	a_{max}^b (g)	T_e (sec)	n	$T_{s,o}$ (sec)	T_s (sec)
29	0.033	0.22	5	1.13	1.19
39	0.200	0.16	2	1.13	1.45
40	0.190	0.20	1.5	1.13	1.44
41	0.050	0.19	3	1.13	1.22
45	0.140	0.20	2.5	1.13	1.36

6. CONCLUSIONS

Soil effects on the normalized spectral amplification ratio (for 5% damping) A_{Sa}^* have been quantified with a set of approximate relations, based on results from more than 700 equivalent-linear analyses of one-dimensional seismic ground response. Combined with the similar relations for a_{max} , V_{max} and T_s presented in [3], they comprise an integrated tool for estimating seismic site response in engineering practice. In summary it was found that:

- The value of A_{Sa}^* is a function primarily of the normalized periods T_{sv}/T_s and T_s/T_e and secondarily of the impedance ratio T_b/T_s and the number of cycles n . The effect of a_{max}^b is statistically insignificant.
- The relations for the peak $A_{Sa,p}^*$ and residual $A_{Sa,r}^*$ values of A_{Sa}^* are in fair agreement with the respective numerical predictions, with the error having a standard deviation ranging from $\pm 21.3 - 26.1\%$.
- Given the seismic excitation, predictions of the soil surface spectral acceleration S_{as} with the proposed relations compared to recordings and numerical analyses verified the above accuracy in seven (7) cases that are not included in the database.

The limits of application of the proposed relations for the A_{Sa}^* are defined by the range of the site and excitation parameters in the database on which they were based [3],

[2]. Overall, the set of relations presented here and in [3] aim at the preliminary evaluation of soil effects. Also, they can be used as a user-friendly alternative to the equivalent-linear method, when the latter is too cumbersome to implement, as in GIS-aided microzonation studies [7].

7. ACKNOWLEDGEMENTS

This research was funded by the Earthquake Protection and Planning Organization of Greece (O.A.Σ.Π.). The seismological data pertaining to the SMART-1 array were communicated to the authors by Dr. Nickolaos Theodulidis, Director of the Institute of Engineering Seismology and Earthquake Engineering in Thessaloniki (I.T.Σ.A.K.). All these contributions are gratefully acknowledged.

8. REFERENCES

- Biggs J. M. (1965), "Introduction to structural dynamics", McGraw-Hill, p. 341.
- Bouckovalas G. D., Papadimitriou A. G. (2003), "Multi-variable relations for soil effects on seismic ground motion", *Earthquake Engineering and Structural Dynamics*, Vol.32, No.12, 1867-1896.
- Bouckovalas G. D., Papadimitriou A. G. (2004), "Multi-variable relations for soil effects on peak seismic motion parameters", *Technika Chronika*.
- Cultrera G., Boore D. M., Joyner W. B., Dietel C. M. (1999), "Nonlinear soil response in the vicinity of the Van Norman Complex following the 1994 Northridge California, earthquake", *Bulletin Seismological Society America*, Vol. 89, No.5, pp. 1214 - 1231.
- Elgamal A.-W., Zeghal M., Parra E., Gunturi R., Tang H. T., Stepp J. C. (1996), "Identification and modeling of earthquake ground response - I. Site Amplification", *Soil Dynamics and Earthquake Engineering*, Vol. 15, No.8: 499 - 522.
- Idriss I. M., Sun J. I. (1992), "SHAKE91 - A computer program for conducting equivalent linear seismic response analysis of horizontally layered soil deposits", *User's Guide*, Center for Geotechnical Modeling, Civil Engineering Department, U.C. Davis.
- Papadimitriou A. G., Antoniou A., Bouckovalas G. D., Marinos P. (2004), "Approximate relations for GIS-aided evaluation of soil effects on seismic ground motion", *Proceedings, 11th IC Soil Dynamics Earthquake Engineering & 3rd IC Earthquake Geotechnical Engineering*, Vol.2, 39-46, Berkeley USA January.
- Schnabel P. B., Lysmer J., Seed J. (1972), "SHAKE - A computer program for earthquake response analysis of layered soils", *User's Manual*, UC Berkeley: EERC-72.
- Theodulidis N. P., Bard P.-Y. (1995), "Horizontal to vertical spectral ratio and geological conditions: an analysis of strong motion data from Greece and Taiwan (SMART-1)", *Soil Dynamics and Earthquake Engineering*, Vol. 14, No.3: 177-197.
- Wen K. L. (1994), "Non-linear soil response in ground motion", *Earthquake Engineering and Structural Dynamics*, 23, 599 - 608.

George D. Bouckovalas

Professor, School of Civil Engineering, Geotechnical Department, National Technical University of Athens.

Achilleas G. Papadimitriou

Dr Civil Engineer, School of Civil Engineering, Geotechnical Department, National Technical University of Athens.

Εκτενής περίληψη

Παραμετρικές Σχέσεις Υπολογισμού της Εδαφικής Ενίσχυσης II. Ελαστικά Φάσματα Απόκρισης

ΓΕΩΡΓΙΟΣ Δ. ΜΠΟΥΚΟΒΑΛΑΣ

Καθηγητής Ε.Μ.Π.

ΑΧΙΛΛΕΑΣ Γ. ΠΑΠΑΔΗΜΗΤΡΙΟΥ

Δρ Πολιτικός Μηχανικός Ε.Μ.Π.

Περίληψη

Προτείνεται μια ομάδα απλών σχέσεων υπολογισμού της εδαφικής επίδρασης στα κανονικοποιημένα ελαστικά φάσματα απόκρισης (απόσβεση 5%), η οποία είναι συμπληρωματική των αντίστοιχων σχέσεων για τη μέγιστη σεισμική επιτάχυνση a_{max} και ταχύτητα V_{max} που προτείνονται σε συνοδό άρθρο. Συγκεκριμένα, ο κανονικοποιημένος λόγος ελαστικής φασματικής ενίσχυσης από το αναδύμενο υπόβαθρο στην επιφάνεια του εδάφους συναρτάται με πέντε (5) βασικές παραμέτρους του εδάφους και της διέγερσης: τις ιδιοπεριόδους της εδαφικής στήλης T_s και του υποβάθρου T_b , τη δεσπόζουσα περίοδο της διέγερσης T_e , τη μέγιστη σεισμική επιτάχυνση στο αναδύμενο υπόβαθρο a_{max}^b και τον αριθμό ισοδύναμων κύκλων αρμονικής κίνησης n . Όπως και για τις a_{max} και V_{max} , η επίδραση της κάθε παραμέτρου εκτιμήθηκε μέσω πολύπαραμετρικής στατιστικής ανάλυσης σχετικών δεδομένων από πλέον των 700 μονοδιάστατων ισοδύναμα γραμμικών αναλύσεων σεισμικής απόκρισης, για πραγματικές εδαφικές τομές και σεισμικές διεγέρσεις. Η αξιοπιστία των προτεινόμενων σχέσεων διακριβώνεται με σύγκριση των προβλέψεών τους με τα αποτελέσματα των αριθμητικών αναλύσεων της βάσης δεδομένων αλλά κυρίως με λεπτομερή σύγκριση των προβλέψεών τους με ανεξάρτητες αριθμητικές προβλέψεις αλλά και σεισμικές καταγραφές που αφορούν σε επτά (7) καλώς τεκμηριωμένα ιστορικά περιστατικά εδαφικής επίδρασης: α) δύο θέσεις στην κοιλάδα San Fernando κατά το σεισμό του Northridge, και β) πέντε σεισμικά γεγονότα στην ίδια θέση του πειραματικού δικτύου επιταχυνσιογράφων SMART-1 στην Taiwan.

Στο συνοδό άρθρο [3] παρουσιάζονται πολύ-παραμετρικές σχέσεις υπολογισμού της εδαφικής επίδρασης στις τιμές της μέγιστης σεισμικής επιτάχυνσης a_{max} και ταχύτητας v_{max} , συναρτήσκει βασικών παραμέτρων του εδάφους, του βραχύδους υποβάθρου και της σεισμικής διέγερσης. Στο παρόν άρθρο, η παρουσίαση αυτή ολοκληρώνεται με ανάλογες σχέσεις για τα ελαστικά φάσματα αποκρίσεως, για 5% απόσβεση της ανωδομής. Υπενθυμίζεται ότι ο σκοπός των προτεινόμενων σχέσεων είναι να βελτιωθεί η ακρίβεια που προσφέρουν οι διαθέσιμες σήμερα εμπειρικές μέθοδοι υπολογισμού της εδαφικής επίδρασης και παράλληλα να αποτελέσουν εναλλακτική επιλογή σε περιπτώσεις όπου η εφαρμογή των ακριβέστερων αριθμητικών μεθόδων δεν

Υποβλήθηκε: 30.10.2002 Έγινε δεκτή: 1.7.2004

είναι δυνατή λόγω κόστους ή περιορισμών λογισμικού (π.χ. σε συστήματα G.I.S. [7]).

Τα δεδομένα και η γενική μεθοδολογία διατύπωσης των νέων σχέσεων είναι τα ίδια και στα δύο άρθρα. Αρχικά έγινε στατιστική επεξεργασία μιας βάσης δεδομένων και αποτελεσμάτων από πλέον των 700 αριθμητικών αναλύσεων με την ισοδύναμη-γραμμική μέθοδο, που πραγματοποιήθηκαν με τα λογισμικά SHAKE [8] και κυρίως με το SHAKE91 [6]. Η αξιολόγηση της ακρίβειας των σχέσεων έγινε ακολούθως σε σύγκριση με τα αποτελέσματα των ίδιων των αριθμητικών αναλύσεων, αλλά και με πραγματικές σεισμικές καταγραφές σε επτά (7) περιπτώσεις καλά τεκμηριωμένων φαινομένων εδαφικής «ενίσχυσης» που δεν περιλαμβάνονται στη βάση δεδομένων και αποτελεσμάτων.

Προκειμένου να απομονωθεί η εδαφική επίδραση στο φασματικό περιεχόμενο της δόνησης, θεωρήθηκε η κανονικοποιημένη (ως προς τη μέγιστη επιτάχυνση της διέγερσης) φασματική επιτάχυνση $S_a^* = S_a / a_{max}$ αντί για την ίδια τη φασματική επιτάχυνση S_a , καθώς και ο αντίστοιχος συντελεστής εδαφικής ενίσχυσης A_{Sa}^* . Τυπικά αποτελέσματα από αριθμητικές αναλύσεις της σεισμικής απόκρισης του εδάφους (Σχήμα 1) δείχνουν ότι ο συντελεστής αυτός είναι πρακτικά ανεξάρτητος από το φασματικό περιεχόμενο της διέγερσης και επιπλέον:

- (α) γίνεται ίσος με 1.0 για άκαμπτη ανωδομή ($T_{str} \cong 0$),
- (β) λαμβάνει τη μέγιστη τιμή του, ίση προς $A_{Sa,p}^*$, στην περίπτωση συντονισμού εδάφους-ανωδομής ($T_{str} \cong T_s$), και
- (γ) μειώνεται σταδιακά και αυξανόμενης της περιόδου της ανωδομής ($T_{str} / T_s > 1$) τείνει ασυμπτωτικά προς μία σταθερή παραμένουσα τιμή, ίση προς $A_{Sa,r}^*$.

Συνεπώς, ο συντελεστής A_{Sa}^* εκφράζεται αναλυτικά συναρτήσκει των δύο ακραίων τιμών του, της μέγιστης $A_{Sa,p}^*$ και της παραμένουσας $A_{Sa,r}^*$ (Εξισώσεις 3.3, 3.6 και 3.7). Η στατιστική επεξεργασία των διαθέσιμων αριθμητικών αποτελεσμάτων έδειξε ακολούθως ότι οι δύο ανωτέρω χαρακτηριστικές ακραίες τιμές μπορούν να υπολογισθούν ως συνάρτηση τριών (3) εδαφικών και σεισμολογικών παραμέ-

τρων (Εξιιώσεις 8 και 9):

- (α) του λόγου της ιδιοπεριόδου της εδαφικής στήλης προς τη δεσπόζουσα περίοδο της διέγερσης T_s/T_e ,
- (β) του λόγου ιδιοπεριόδων της στήλης εδάφους και ίσου ύψους στήλης βραχώδους υποβάθρου T_s/T_b , και
- (γ) του αριθμού των ισοδύναμων αρμονικών κύκλων της διέγερσης n .

Η μέγιστη σεισμική επιτάχυνση στην ελεύθερη επιφάνεια του βραχώδους υποβάθρου a_{max}^b , η οποία είχε συστηματική επιρροή στους συντελεστές εδαφικής ενίσχυσης της μέγιστης σεισμικής επιτάχυνσης A_a και ταχύτητας A_v , αποδεικνύεται τώρα ότι είναι στατιστικά ασήμαντη για τους συντελεστές $A_{Sa,p}^*$ και $A_{Sa,r}^*$ και εξαιρέθηκε από τις αντίστοιχες προσεγγιστικές σχέσεις.

Στα σχήματα 3 και 6 συγκρίνονται απευθείας οι προσεγγιστικές τιμές των $A_{Sa,p}^*$ και $A_{Sa,r}^*$ με τα αντίστοιχα αποτελέσματα των αριθμητικών αναλύσεων. Επιπλέον, στα Σχήματα 4 και 7 παρουσιάζεται η σχετική απόκλιση των προσεγγιστικών και αριθμητικών προβλέψεων συναρτήσει των ανεξάρτητων μεταβλητών T_s/T_e , T_s/T_b , και n . Από τις ανωτέρω συγκρίσεις φαίνεται ότι η απόκλιση των προσεγγιστικών από τις αριθμητικές προβλέψεις είναι στατιστικά τυχαία, δηλαδή ανεξάρτητη από τις μεταβλητές που υπεισέρχονται στις προτεινόμενες σχέσεις, και παρουσιάζει τυπική απόκλιση που κυμαίνεται μεταξύ $\pm 21 - 26\%$ της τιμής των αριθμητικών προβλέψεων.

Πέραν της αξιολόγησης σε σχέση με τη βάση δεδομένων και αποτελεσμάτων από τις αριθμητικές αναλύσεις, οι προτεινόμενες σχέσεις εφαρμόστηκαν σε επτά (7) συνολικά πραγματικές περιπτώσεις εδαφικής ενίσχυσης, με ικανοποιητική τεχνικογεωλογική και σεισμολογική τεκμηρίωση. Οι δύο πρώτες περιπτώσεις αφορούν στην κοιλάδα San Fernando κατά το σεισμό του Northridge (1994, $M_L = 6.4$). Το Σχήμα 8 δείχνει τα βασικά γεωγραφικά χαρακτηριστικά της περιοχής, και εντοπίζει το επίκεντρο του σεισμού και τις τρεις θέσεις καταγραφής που εξετάστηκαν στο πλαίσιο αυτής της έρευνας: Los Angeles Dam (LDF), Rinaldi Receiving Station (RRS) και Arleta Fire Station (SFY). Οι γεωλογικές τομές και η μεταβολή της ταχύτητας μετάδοσης σεισμικών (διατμητικών) κυμάτων με το βάθος στις τρεις αυτές θέσεις παρουσιάζονται στο Σχήμα 9. Εκ των τριών κοντινών θέσεων, η LDF θεωρήθηκε ως θέση καταγραφής επί αναδυόμενου βραχώδους υποβάθρου και οι RRS και SFY ως θέσεις καταγραφής επί εδαφικών αποθέσεων.

Οι υπόλοιπες πέντε (5) περιπτώσεις αφορούν στο πειραματικό σεισμολογικό δίκτυο SMART-1 στην κοιλάδα Lanyang της βορειοανατολικής Taiwan. Στο παρόν άρθρο το ενδιαφέρον επικεντρώνεται σε δύο κόμβους του σεισμολογικού δικτύου, τον O-07 επί εδαφικών αποθέσεων και τον E-02 επί του αναδυόμενου βραχώδους υποβάθρου. Η

μεταβολή με το βάθος της ταχύτητας $V_{s,o}$ στον κόμβο O-07 παρουσιάζεται στο Σχήμα 12 [10]. Από τις ισχυρές σεισμικές δονήσεις που έχουν καταγραφεί και στους δύο κόμβους ενδιαφέροντος, επελέγησαν τελικώς πέντε με μέγεθος $M_L = 6 \div 7$ και μέγιστη οριζόντια επιτάχυνση (στον σταθμό E-02) $a_{max}^b = 0.033g - 0.20g$ (Πίνακας 4).

Στα Σχήματα 10a και 11a συγκρίνονται οι προσεγγιστικές προβλέψεις και οι καταγραφές στις εδαφικές θέσεις RRS and SFY. Πιο συγκεκριμένα, κάθε ένα από τα σχήματα αυτά συνίσταται από τρία επιμέρους διαγράμματα: ένα για το φάσμα εδαφικής ενίσχυσης A_{Sa}^* , ένα για τα ελαστικά φάσματα στην επιφάνεια του εδάφους S_{as} και τέλος ένα για το λόγο των φασμάτων S_{as} από τις αναλυτικές προβλέψεις και τις καταγραφές. Για πληρέστερη αξιολόγηση των προτεινόμενων σχέσεων, η σεισμική απόκριση των θέσεων RRS και SFY προσομοιώθηκε επίσης με ισοδύναμα γραμμικές αριθμητικές αναλύσεις. Τα αποτελέσματα των αναλύσεων αυτών συγκρίνονται με τις καταγραφές στα Σχήματα 10b και 11b, και με τις προσεγγιστικές σχέσεις στα Σχήματα 10c και 11c. Τα Σχήματα 13 έως 17 συγκρίνουν επιπλέον τα φάσματα που προέκυψαν από τις προσεγγιστικές σχέσεις με τα αντίστοιχα φάσματα των καταγραφών και των αριθμητικών αναλύσεων για τη θέση O-07 του δικτύου SMART-1. Η παρουσίαση στα σχήματα αυτά είναι παρόμοια με αυτή των Σχημάτων 10 και 11.

Τα συμπεράσματα που προκύπτουν από όλες τις ανωτέρω συγκρίσεις είναι κοινά. Συγκεκριμένα, παρά την παρατηρούμενη σημαντική διασπορά, η συμφωνία μεταξύ των προσεγγιστικών προβλέψεων και των καταγραφών είναι συστηματική και ικανοποιητική. Εξίσου σημαντική είναι όμως και η διαπίστωση ότι η απόκλιση των προσεγγιστικών προβλέψεων από τις καταγραφές είναι στατιστικά ισοδύναμη με την απόκλιση των αριθμητικών προβλέψεων. Οι διαπιστώσεις αυτές υπογραμμίζουν βέβαια τις γνωστές αντικειμενικές δυσκολίες που αντιμετωπίζει η θεωρητική προσομοίωση πραγματικών καταγραφών, κυρίως όμως τεκμηριώνουν την προοπτική χρήσης των προτεινόμενων σχέσεων στο πλαίσιο πρακτικών εφαρμογών, ως εύχρηστων προκαταρκτικών υποκατάστατων αριθμητικών αναλύσεων.

ΕΥΧΑΡΙΣΤΙΕΣ

Η ερευνητική μας προσπάθεια χρηματοδοτήθηκε από τον Οργανισμό Αντισεισμικού Σχεδιασμού και Προστασίας (Ο.Α.Σ.Π.). Τα σεισμολογικά δεδομένα από το πειραματικό δίκτυο SMART-1 στην Taiwan μάς παραχωρήθηκαν ευγενικά από τον δρ Ν. Θεοδουλίδη, Διευθυντή του Ινστιτούτου Τεχνικής Σεισμολογίας και Αντισεισμικών Κατασκευών (Ι.Τ.Σ.Α.Κ.). Τους ευχαριστούμε όλους θερμά.

Γεώργιος Α. Μπουκοβάλας

Καθηγητής, Σχολή Πολιτικών Μηχανικών, Τομέας Γεωτεχνικής, Εθνικό Μετσόβιο Πολυτεχνείο.

Αχιλλέας Γ. Παπαδημητρίου

Δρ Πολιτικός Μηχανικός, Σχολή Πολιτικών Μηχανικών, Τομέας Γεωτεχνικής, Εθνικό Μετσόβιο Πολυτεχνείο.